

# 沈埋構造物の帯板要素法による応力解析

正員 能町 純 雄\*

正員 松岡 健 一\*\*

学生員 ○越後 隆 一\*\*\*

## 1. ま え が き

交通量の増加や都市の美観上のため地下埋設構造物が多くなって来ているが、これら構造物は断面方向にはラーメン構造、軸方向には弾性床土の桁として解析されている。

土かぶりが多い場合はこれで十分であると思われるが、しかし比較的多い土かぶりが浅い *Opencut* 法や沈埋工法等ではラーメン方向に比べて軸方向にはどの位の応力が存在しているか、又は *BOX* の中に作用する荷重がどのような影響を与えるか興味を注ぐ問題である。これらの問題を扱う一手法として帯板要素法を *Box Culvert* に応用し、ラーメン作用と側壁応力とを相関させて立体的に応力解析を試みた。

モーメント:

$$\left. \begin{aligned} M_{r,r+1} &= \frac{N}{k\lambda} \left\{ \beta\theta_r + 2\alpha\theta_{r+1} - \frac{\phi w_{r+1} - \phi w_r}{\lambda} \right\} - \nu N \ddot{w}_r \\ M_{r,r-1} &= -\frac{N}{k\lambda} \left\{ \beta\theta_r + 2\alpha\theta_{r-1} - \frac{\phi w_r - \phi w_{r-1}}{\lambda} \right\} - \nu N \ddot{w}_r \end{aligned} \right\} \dots \dots \dots (1)$$

せん断力:

$$\left. \begin{aligned} Q_{r,r+1} &= \frac{(2JM_{r+1,r} - DM_{r,r+1})}{\lambda} - \frac{N(1-\nu)(2J\ddot{w}_{r+1} - D\ddot{w}_r)}{\lambda} + \lambda \{ (\beta\ddot{M}_{r,r+1} + 2\alpha\ddot{M}_{r+1,r}) \\ &\quad - N(1-\nu)(\beta\ddot{w}_r + 2\alpha\ddot{w}_{r+1}) \} - K\lambda\beta w_r - K\lambda 2\alpha w_{r+1} \\ Q_{r,r-1} &= \frac{(DM_{r,r-1} - 2JM_{r-1,r})}{\lambda} - \frac{N(1-\nu)(D\ddot{w}_r - 2J\ddot{w}_{r-1})}{\lambda} - \lambda \{ (2\alpha\ddot{M}_{r-1,r} + \beta\ddot{M}_{r,r-1}) \\ &\quad - N(1-\nu)(2\alpha\ddot{w}_{r-1} + \beta\ddot{w}_r) \} + K\lambda 2\alpha w_{r-1} + K\lambda\beta w_r \end{aligned} \right\} \dots \dots \dots (2)$$

$$c = 4 \sqrt{\frac{K}{N} \frac{\lambda^4}{\pi^4}} \quad K: \text{地盤反力係数}, \lambda: \text{帯板の巾}$$

$$N = \frac{Et^3}{12(1-\nu^2)} \quad E: \text{弾性係数}, t: \text{厚さ}, \nu: \text{ポアソン比}$$

$$\left. \begin{aligned} A \\ J \end{aligned} \right\} = \frac{\sqrt{2}}{H} \left\{ \cosh \frac{\pi c}{\sqrt{2}} \sin \frac{\pi c}{\sqrt{2}} \pm \sinh \frac{\pi c}{\sqrt{2}} \cos \frac{\pi c}{\sqrt{2}} \right\}$$

$$\left. \begin{aligned} B \\ D \end{aligned} \right\} = \frac{\sqrt{2}}{H} \left\{ \sinh \sqrt{2} \pi c \pm \sin \sqrt{2} \pi c \right\}$$

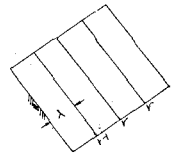


図 - 1

## 2. 解析にあたり

*Box Culvert* を上板、側板を各々1枚の帯板と考え、次にあげてある普通平板の帯板公式よりせん断力とラーメン向きのモーメントを考え、土圧による力をカーメン荷重項として加える。又底板は3枚の帯板に分割し、これらに弾性床上板の帯板公式を用い、各節点で力のつり合いを考え、平面応力の式を用いて相関させて解析を行った又境界条件としては両端で単純支持、仮定として横方向の変位は無視する。上端の変位は同じものとする。

## 3. 帯板要素による各公式

### 3-1 弾性床上板の帯板要素公式

帯板の境界 *r* 点でのモーメント、せん断力

\*\* 室蘭工業大学教授 工博  
 \*\* 室蘭工業大学助教授 工修  
 \*\*\* 室蘭工業大学大学院

$$H = \cosh/2\pi c - \cos/2\pi c, \quad \alpha = \frac{A}{c^2 \pi^2}, \quad \beta = \frac{B}{c^2 \pi^2}, \quad k = \beta^2 - 4\alpha^2, \quad \varphi = 4\alpha J + BD, \quad \phi = 2JB + 2D\alpha$$

### 3-2 普通平板の帯板要素式<sup>(1)</sup>

帯板の境界  $r$  点でのモーメント, せん断力

モーメント:

$$\left. \begin{aligned} M_{r,r+1} &= \frac{2N}{\lambda} \left\{ 2\theta_r + \theta_{r+1} - \frac{3(w_{r+1} - w_r)}{\lambda} \right\} - \nu N w_r \\ M_{r,r-1} &= -\frac{2N}{\lambda} \left\{ 2Q_r + Q_{r-1} - \frac{3(w_r - w_{r-1})}{\lambda} \right\} - \nu N w_r \end{aligned} \right\} \dots (3)$$

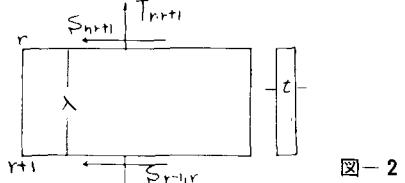


図-2

せん断力:

$$\left. \begin{aligned} Q_{r,r+1} &= \frac{M_{r+1,r} - M_{r,r+1}}{\lambda} = \frac{N(1-\nu)(w_{r+1} - w_r)}{\lambda} + \frac{\lambda}{6} \{ (2M_{r,r+1} + M_{r+1,r}) - N(1-\nu)(2w_r + w_{r+1}) \} \\ Q_{r,r-1} &= \frac{M_{r,r-1} - M_{r-1,r}}{\lambda} = \frac{N(1-\nu)(w_r - w_{r-1})}{\lambda} - \frac{\lambda}{6} \{ (2M_{r,r-1} + M_{r-1,r}) - N(1-\nu)(2w_r + w_{r-1}) \} \end{aligned} \right\} \dots (4)$$

$$\left. \begin{aligned} T_{r,r+1} &= Et\lambda(2u_r + u_{r+1}) + \frac{S_{r,r+1} - S_{r+1,r}}{\lambda} \\ Gt v_s &= Gt \frac{u_r - u_{r-1}}{\lambda} + \frac{S_{r,r-1} - S_{r-1,r}}{\lambda} \end{aligned} \right\} \dots (5)$$

## 4. 各節点の力のつり合

### 4-1 つり合条件式

A 点

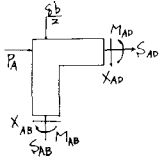


図-4

$$\Sigma M = 0 : M_{AD} + M_{AB} = 0 \dots (6)$$

$$\Sigma V = 0 : \frac{qb}{2} + S_{AB} + X_{AD} = 0 \dots (7)$$

$$\Sigma H = 0 : P_A + S_{AD} - X_{AB} = 0 \dots (8)$$

$$\Sigma T = 0 : T_{AD} + T_{AB} = 0 \dots (9)$$

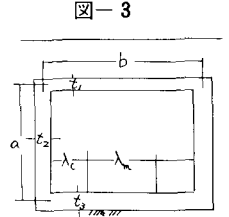


図-3

B 点

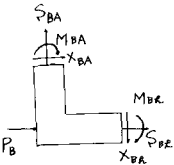


図-5

$$\Sigma M = 0 : M_{BA} + M_{Bh} = 0 \dots (10)$$

$$\Sigma V = 0 : S_{BA} - X_{Bh} = 0 \dots (11)$$

$$\Sigma H = 0 : P_B + S_{Bh} + X_{BA} = 0 \dots (12)$$

$$\Sigma T = 0 : T_{BA} + T_{Bh} = 0 \dots (13)$$

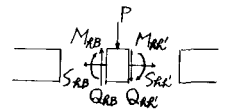
h 点

$$\Sigma M = 0 : M_{hB} + M_{hh'} = 0 \dots (14)$$

$$\Sigma V = 0 : Q_{hh'} - Q_{hB} = -P \dots (15)$$

$$\Sigma H = 0 : S_{Bh} - S_{hh'} = 0 \dots (16)$$

$$\Sigma T = 0 : T_{hB} + T_{hh'} = 0 \dots (17)$$



$$v_{hB} = v_{hh'} : Gt_3 \frac{v_B - u_h}{\lambda_\ell} + \frac{S_{Bh} - S_{Bh'}}{\lambda_\ell} = Gt_3 \frac{u_h - u_{h'}}{\lambda_m} + \frac{S_{hh'} - S_{hh}}{\lambda_m} \dots (18)$$

(5) より

$$Gt_2 w_B = Gt_2 \frac{v_A - v_B}{a} + \frac{S_{AB} - S_{BA}}{a} \dots (19)$$

X : 代償せん断力を考慮した板のせん断力

△-2 つり合条件式より求まる微分方程式

(6) より

$$\frac{4}{a} \left\{ \frac{N_2}{N_1} + \frac{a}{b} \right\} \theta_A + \frac{2}{a} \frac{N_2}{N_1} \theta_B + \frac{2}{b} \theta_D - \nu w_B + \frac{6}{b^2} \ddot{w}_B - \frac{6}{b^2} w_C = -\frac{1}{N_1} \{C_{AD} + C_{AB}\} \dots (20)$$

(10) より

$$\frac{2}{a} \frac{N_2}{N_3} \theta_A + \frac{1}{\lambda_\ell} \left\{ 2 - \frac{\lambda_\ell}{a} \frac{N_2}{N_3} + \frac{\beta_\ell}{k_\ell} \right\} \theta_B + \frac{1}{\lambda_\ell} \frac{2\alpha_\ell}{k_\ell} \theta_h - \nu w_B + \frac{1}{\lambda_\ell^2 k_\ell} \varphi_\ell w_B - \frac{1}{\lambda_\ell^2 k_\ell} \phi_\ell w_h = -\frac{1}{N_3} C_{BA} \dots (21)$$

(15) より

$$\frac{1}{\lambda_\ell} \frac{2\alpha_\ell}{k_\ell} \theta_B + \frac{1}{\lambda_\ell} \left\{ \frac{\beta_\ell}{k_\ell} + \frac{\lambda_\ell \beta_m}{\lambda_m k_m} \right\} \theta_h + \frac{1}{\lambda_m} \frac{2\alpha_m}{k_m} \theta_{h'} + \frac{1}{\lambda_\ell^2 k_\ell} \varphi_\ell w_B - \frac{1}{\lambda_\ell^2 k_\ell} d w_h - \frac{1}{\lambda_m^2 k_m} \phi_m w_{h'} = 0 \dots (22)$$

(16) より

$$\begin{aligned} & \frac{1}{\lambda_\ell^2 k_\ell} \varphi_\ell \theta_B + \frac{1}{\lambda_\ell^2 k_\ell} \theta_h - \frac{1}{\lambda_m^2 k_m} \phi_m \theta_{h'} - \lambda_\ell^2 2\alpha_\ell \ddot{w}_B + \frac{1}{\lambda_\ell} f(\ell) \ddot{w}_B - \frac{1}{\lambda_\ell^2} g(\ell) w_B - \lambda_\ell \left\{ \beta_\ell + \frac{\lambda_m \beta_m}{\lambda_\ell} \right\} w_h + \frac{1}{\lambda_\ell} \left\{ p(\ell) + \frac{\lambda_\ell}{\lambda_m} p^{(m)} \right\} w_h \\ & - \frac{1}{\lambda_\ell^3} \left\{ v(\ell) + \frac{\lambda_\ell^3}{\lambda_m^3} v^{(m)} \right\} w_h - \lambda_m 2\alpha_m \ddot{w}_{h'} + \frac{1}{\lambda_m} f^{(m)} \ddot{w}_{h'} - \frac{1}{\lambda_m^3} g^{(m)} w_{h'} = -\frac{P}{N_3} \dots (23) \end{aligned}$$

(9) と (19) より

$$Gat_2 w_B + 2Ea(at_2 + bt_1) \ddot{u}_A - Gt_2 \dot{u}_A + Ea^2 t_2 \ddot{u}_B + Gt_2 \dot{u}_B + Eabt_1 \ddot{u}_D + \frac{a}{b} (S_{AD} - S_{DA}) = 0 \dots (24)$$

(13), (18), (19) より

$$\begin{aligned} & -Gat_2 \ddot{w}_B + Ea^2 t_2 \ddot{u}_A + Gt_2 \dot{u}_A + 2Ea(at_2 + \lambda_\ell t_3) \ddot{u}_B - G \left( t_2 + \frac{t_3}{\lambda_\ell} a \right) \dot{u}_B + E\lambda_\ell at_3 \ddot{u}_h + Gat_3 \left( \frac{1}{\lambda_\ell} + \frac{1}{\lambda_m} \right) \dot{u}_h \\ & - G\alpha \frac{t_3}{\lambda_m} u_{h'} + \frac{a}{\lambda_m} (S_{hh'} - S_{h'h}) = 0 \dots (25) \end{aligned}$$

(17), (18) より

$$E\lambda_\ell \ddot{u}_B + G \frac{1}{\lambda_\ell} \dot{u}_B + 2E(\lambda_\ell + \lambda_m) \ddot{u}_h - G \left( \frac{1}{\lambda_\ell} + \frac{1}{\lambda_m} \right) \dot{u}_h + E\lambda_m \ddot{u}_{h'} + G \frac{1}{\lambda_m} u_{h'} = 0 \dots (26)$$

(7), (11), (19) より

$$\begin{aligned} & -\frac{N_1}{N_3} \nu \ddot{\theta}_A - \frac{6}{b^2} \frac{N_1}{N_3} \theta_A - \nu \ddot{\theta}_B + \frac{1}{\lambda_\ell^2 k_\ell} \varphi_\ell \theta_B + \frac{1}{\lambda_\ell^2 k_\ell} \theta_h + \frac{6}{b^2} \frac{N_1}{N_3} \theta_D + \lambda_\ell \left( \frac{b}{3\lambda_\ell} \frac{N_1}{N_3} + \beta_\ell \right) \ddot{w}_B - \frac{1}{\lambda_\ell} \left\{ p(\ell) + \frac{G}{N_3} t_2 a \lambda_\ell + 2 \frac{\lambda_\ell N_1}{b N_3} \right\} \ddot{w}_B \\ & + \frac{1}{\lambda_\ell^3} \left\{ v(\ell) + 6 \frac{\lambda_\ell^3 N_1}{b^3 N_3} \right\} w_B + \lambda_\ell \cdot 2\alpha_\ell \cdot w_h - \frac{1}{\lambda_\ell} f(\ell) \ddot{w}_h + \frac{1}{\lambda_\ell^2} g(\ell) \ddot{w}_h + \frac{b}{6} \frac{N_1}{N_3} w_c + \frac{b}{3} \frac{N_1}{N_3} \ddot{w}_c + \frac{2}{b} \frac{N_1}{N_3} \ddot{w}_c + \frac{G}{N_3} t_2 \dot{u}_A - \frac{G}{N_3} t_2 \dot{u}_B \\ & = \frac{1}{N_3} \left\{ \frac{C_{DA} - C_{AD}}{b} + \frac{ab}{2} \right\} \dots (26) \end{aligned}$$

C\*\* : ラーメン荷重項

$$d = k_\ell \left\{ \frac{\varphi_\ell}{k_\ell} - \frac{\lambda_\ell^2 \varphi_m}{\lambda_m^2 k_m} \right\} \quad f^{(i)} = \frac{2\alpha_i \varphi_i - \beta_i \phi_i}{k_i} - 2J_i$$

$$g^{(i)} = \frac{K}{N_3} \lambda_i^2 2\alpha_i - \frac{D_i \phi_i + 2J_i \varphi_i}{k_i}$$

$$P^{(i)} = D_i + \frac{\beta_i \varphi_i - 2\alpha_i \phi_i}{k_i}$$

$$v^{(i)} = \frac{K}{N_3} \lambda_i^2 \beta_i + \frac{D_i \varphi_i + 2J_i \phi_i}{k_i}$$

以上の微分方程式が求まる。

なお、(24), (25) 中の S (法線力) は次の対称, 送対称

b) 逆対称荷重

$$w_B = -w_C, \quad u_A = -u_D, \quad \theta_A = \theta_D$$

$$w_h = -w_{h'}, \quad u_h = -u_{h'}, \quad \theta_h = \theta_{h'}$$

$$S_{AD} - S_{DA} = 2S_{AD} = 2 \left\{ N_2 \left( \nu \theta_A - \frac{6}{a^2} \theta_A - \frac{6}{a^2} \theta_B \right) + \frac{C_{AB} - C_{BA}}{a} - P_A \right\}$$

$$S_{hh'} - S_{h'h} = 2S_{hh'} = 2S_{hh'} = 2 \frac{\lambda_m N_2}{b} \left\{ -\nu \theta_B + \frac{6}{a^2} \theta_B + \frac{6N_2}{a^2} \theta_A \right\} - \frac{\lambda_m (C_{AB} - C_{BA})}{ab} - \frac{\lambda_m P_B}{b} - Gt_3 \dot{u}_h + G \frac{\lambda_m t_3}{b} \dot{u}_B$$

条件を考えて消去する。

これらの方程式に

i) 土圧のみが作用する場合

構造, 荷重とも対称となるので次の条件を代入

$$w_B = w_C, \quad u_A = u_D, \quad \theta_A = -\theta_D$$

$$w_h = w_{h'}, \quad u_h = u_{h'}, \quad \theta_h = -\theta_{h'}$$

$$S_{AD} - S_{DA} = 0, \quad S_{hh'} - S_{h'h} = 0$$

② Point load のみが底板に作用する場合

a) 対称荷重

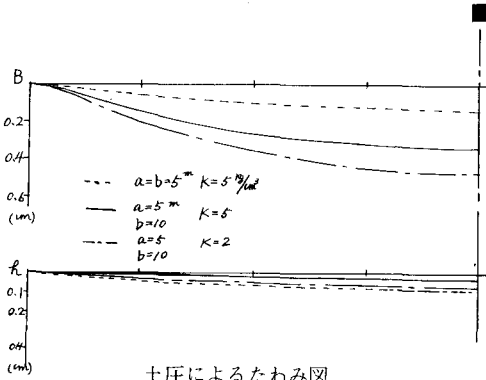
条件は上述と同じ

を代入する事により8元連立微分方程式を解く事に帰着する。この式この式をx方向にフーリエ変換する事により各値を求める。

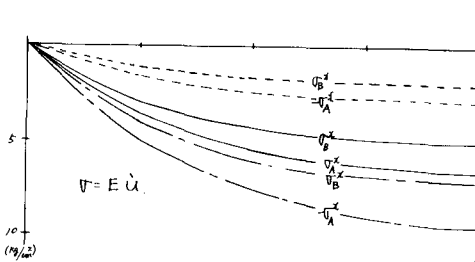
### 5. 数値計算

諸値

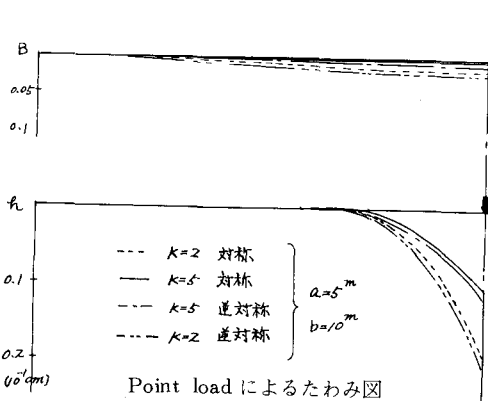
$E=3.0 \times 10.5 \text{ kg/cm}^2$ ,  $\nu=0.0$ ,  $\gamma$  (tの単重) =  $1.65 \text{ t/m}^3$  内部度  
 擦角 $30^\circ$ , 粘着力なし,  $l=5000 \text{ cm}$



土圧によるたわみ図  
 図 - 7



土圧による軸方向応力の分布  
 図-7-1



Point load によるたわみ図  
 図 - 8

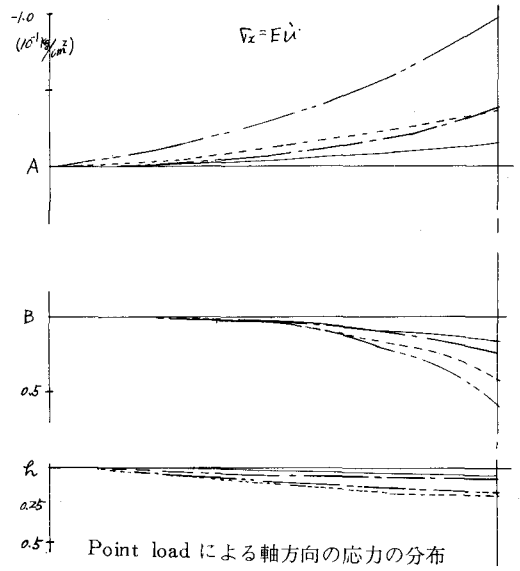


図-8-1



Point load によるラーメン方向モーメント図  
 図-8-2

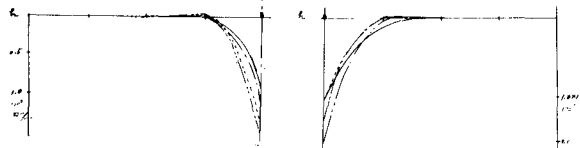


図-8-4

図-8-3

### 6. むすび

土圧による影響は明らかにラーメン方向に大きく軸方向にはほとんど問題がないと思われた。しかし Point, load による影響は極部的で応力集中を呈している, 将来交通輸送の大型化に伴ない比較的浅い又はまったく土かぶりがない場合等は問題があるように思われる。なお Point load の下でモーメントは不連続になるのに有限値として与えてあるが分割数を細かくすると無限になる。